



## بررسی آزمایشگاهی اثر دما و کسر حجمی نانوذرات بر لزجت نانوسيال هیبریدی غیرنیوتی

حامد اشگرف<sup>۱</sup>، مسعود افرند<sup>۲\*</sup>، محمد همت اسفه<sup>۲</sup>

۱- کارشناس ارشد، گروه مهندسی مکانیک، واحد نجف آباد، دانشگاه آزاد اسلامی، نجف آباد، ایران.

۲- استادیار، گروه مهندسی مکانیک، واحد نجف آباد، دانشگاه آزاد اسلامی، نجف آباد، ایران.

\* نجف آباد، صندوق پستی ۸۵۱۴۱۴۳۱۳۱ masoud.afrand@pmc.iaun.ac.ir

### چکیده

در این مقاله اثر دما و کسر حجمی نانوذرات بر لزجت نانوسيال هیبریدی، که حاوی مخلوطی از آب و اتیلن گلیکول به عنوان سیال پایه و ترکیبی از نانولله‌های کربنی چند جداره و دی‌اکسید سیلیسیوم به عنوان ذرات اضافه شده است، به طور تجربی بررسی شد. اندازه‌گیری‌ها در بازه دمایی ۲۷.۵°C تا ۵۰°C و با استفاده از لزجت-سنج استوانه‌ای در نزخ برش‌های مختلف انجام شد. نمونه‌های ممکن و پایدار با کسر حجمی جامد ۰.۰۶۲۵% - ۰.۰۲۵% - ۰.۰۵% - ۰.۰۷۵% - ۰.۱% - ۱.۵% و ۲% با تعلیق ترکیب حجمی مساوی از نانولله‌های کربنی و دی‌اکسید سیلیسیوم در مخلوط ۵۰%-۵۰% آب اتیلن گلیکول تهیه شدند. نتایج اندازه‌گیری در نزخ برش‌های مختلف نشان داد که سیال پایه (مخلوط آب و اتیلن گلیکول) از خود رفتار نیوتی دارد، در حالی که همه نمونه‌های نانوسيال رفتار غیرنیوتی مشابه مدل قاعده توانی (سدو پلاستیک) و با شاخص توان کمتر از یک نشان دادند. برای همه نمونه‌های نانوسيال و همه دمایها ضرایب مدل پاورلا از طریق برآش منحنی با دقت بالای محاسبه شدند. نتایج همچنین نشان دادند که به طور کلی لزجت ظاهری با افزایش کسر حجمی، افزایش و با افزایش دما، کاهش می‌یابد.

### اطلاعات مقاله

مقاله پژوهشی کامل

دریافت: ۲۵ دی ۱۳۹۴

پذیرش: ۲۲ بهمن ۱۳۹۴

ارائه در سایت: ۰۸ اسفند ۱۳۹۴

کلید واژگان:

لزجت

نانوسيال هیبریدی

رفتار غیرنیوتی

بررسی آزمایشگاهی

## Experimental investigation of the effects of temperature and nanoparticles volume fraction on the viscosity of non-Newtonian hybrid nanofluid

Hamed Eshgarf, Masoud Afrand<sup>\*</sup>, Mohammad Hemmat Esfe

Department of Mechanical Engineering, Najafabad Branch, Islamic Azad University, Najafabad, Iran

\* P.O.B. 8514143131 Najafabad, Iran, masoud.afrand@pmc.iaun.ac.ir

### ARTICLE INFORMATION

Original Research Paper  
Received 15 January 2016  
Accepted 11 February 2016  
Available Online 27 February 2016

**Keywords:**  
Viscosity  
Hybrid nanofluid  
Non-Newtonian behavior  
Experimental investigation

### ABSTRACT

In this paper, the effects of temperature and nanoparticles volume fraction on the viscosity of non-Newtonian hybrid nanofluid, containing water and ethylene glycol as a base fluid and multi-walled carbon nanotubes (MWCNTs) and silica (SiO<sub>2</sub>) as additives, have been investigated experimentally. The measurements have been carried out in temperatures range of 27.5°C - 50°C by using a Brookfield DV-I PRIME digital Viscometer for different shear rates. The stable and homogeneous samples, with the solid volume fractions of 0.0625%, 0.25%, 0.5%, 0.75%, 1%, 1.5% and 2%, were prepared by dispersing equal volumes of dry MWCNTs and SiO<sub>2</sub> nanoparticles in a specified amount of the binary mixture of water/EG (50:50 % vol.). The measurement results at different shear rates showed that the base fluid possessed Newtonian behavior, while all nanofluid samples exhibit a pseudoplastic rheological behavior with a power law index of less than unity ( $n < 1$ ). Moreover, the consistency index and power law index have been obtained by accurate curve-fitting for all nanofluid samples. The results also revealed that the apparent viscosity generally increases with an increase in the solid volume fraction and decreases with rising temperature.

آلومینیوم را بر ضریب انتقال حرارت هدایت مخلوط آب و اتیلن گلیکول به صورت آزمایشگاهی بررسی کردند. ایشان کسر حجمی نانوذرات را تا ۱۸% افزایش دادند و اثر این افزایش را در بازه دمایی ۱۵°C تا ۶۵°C مشاهده کردند. نتایج نشان داد که ضریب هدایت حرارتی در هر دو نانوسيال می‌تواند تا ۲۵% در کسر حجمی ۱۸% افزایش یابد. نتایج مشابه در زمینه افزایش هدایت حرارتی نانوسيالات، توسط چاندراسکار و همکاران [2]، ساندر و همکاران [3]، جیونگ و همکاران [4] و همت و همکاران [5] ارائه شده است. همچنین تعدادی از محققان به بررسی پتانسیل استفاده از نانوسيالات در فرآیندهای

۱- مقدمه مخلوط آب و اتیلن گلیکول، که ضد بخ نیز نامیده می‌شود، برای کاربرد در سیستم‌های خنک کاری، مبدل‌های حرارتی، کلکتورهای خورشیدی، رادیاتور اتموبیل‌ها و ... مورد استفاده قرار می‌گیرد. با این وجود این مخلوط دارای ضریب هدایت حرارتی پائین برای کار در سیستم‌های گرمایی است. در همین راستا بسیاری از محققان تلاش کرده‌اند تا هدایت حرارتی این مخلوط را با تعليق کردن نانوذرهای نانولله‌های کربنی در این مخلوط بهبود دهند. برای مثال یاماوساد و همکاران [1]، اثر افزودن نانوذرات اکسید تیتانیوم و اکسید

Please cite this article using:

H. Eshgarf, M. Afrand, M. Hemmat Esfe, Experimental investigation of the effects of temperature and nanoparticles volume fraction on the viscosity of non-Newtonian hybrid nanofluid, *Modares Mechanical Engineering*, Vol. 16, No. 3, pp. 98-104, 2016 (in Persian)

برای ارجاع به این مقاله از عبارت ذیل استفاده نمایید:

H. Eshgarf, M. Afrand, M. Hemmat Esfe, Experimental investigation of the effects of temperature and nanoparticles volume fraction on the viscosity of non-Newtonian hybrid

آزادگ و همکاران [23] اثر دما و نرخ برش را بر لزجت نانوسيالات نانولوله‌های کربنی- آب و اکسید آلومینیوم- آب بررسی کردند. آزمایش‌های ایشان نشان داد که نانوسيال حاوی نانولوله‌های کربنی در نرخ برش‌های بالا رفتار نيوتنی دارند، درحالی که نانوسيال حاوی اکسید آلومینیوم در بازه دمایی مورد بررسی، رفتار غيرنيوتني نشان داد. تمجید و جنتر [24] رفتار رئولويك همین راستا، همت و همکاران [11] در يك پژوهش تجربی اثرات افرايش رفتار نانوسيال نقره اتيلين گليکول را در بازه کسر حجمی ۰.۱۱٪ تا ۴.۳۸٪ بررسی کردند. اندازه‌گيری‌های ایشان نشان داد که رفتار کلی نانوسيال شبيه رفتار سدوپلاستيک<sup>۱</sup> است. ایشان همچنین نموادرهای تش بشري - نرخ برش را با مدل‌های بينگهام پلاستيک<sup>۲</sup>، هرسل- بالکي<sup>۳</sup> و کسن<sup>۴</sup> ارزيباني کردند. مقدم و همکاران [25] خصوصيات رئولويك نانوسيالات گرافن- گليسيرو را در کسر جرمي‌های مختلف (۰.۰۰۲۵-۰.۰۲) و دماهای مختلف (۲۰°C تا ۶۰°C) بررسی کردند. نتایج ایشان نشان داد که لزجت نانوسيالات با افرايش کسر جرمي، افرايش و با افرايش دما، کاهش می‌يابد. ایشان همچنین مشاهده کردند که رفتار نانوسيال غيرنيوتني است.

با اين وجود، همان‌طور که در بالا بيان شد، تعداد محققانی که بر رفتار رئولويك نانوسيالات هيبريدی تمکر کرده‌اند اندک است. از طرفی به اين علت که رفتار نيوتنی یا غيرنيوتني نانوسيالات نقش مهمی در کاربردهای حرارتی و جريان سیال ایفا می‌کند، يك نياز ضروري به تعیین رفتار رئولويك نانوسيالات وجود دارد. از اين‌رو، در اين مقاله، رفتار رئولويك نانوسيال هيبريدی نانولوله کربنی چند جداره- دی‌اکسید سيليسیوم/آب-اتيلين گليکول بررسی می‌شود. برای نيل به اين هدف نمونه‌های نانوسيال در کسر حجمي‌های مختلف تهييه شده و در دماهای مختلف متفاوت مورد ارزيباني قرار می‌گيرد.

## 2- انجام آزمایش

### 2-1- تهييه نمونه‌های نانوسيال

نمونه‌های پايدار و همگن با کسر حجمي‌های ۰.۰۶۲۵٪ تا ۰.۰۶۲۵٪ با م unic کردن نانولوله‌های کربنی و سيليكا (با کسر حجمي مساوی) در سیال پايه، که مخلوطی از آب و اتيلين گليکول با نسبت حجمی مساوی است، تهييه شدند. خواص ذرات جامد، آب و اتيلين گليکول در جداول ۲ و ۳ ارائه شده‌اند.

مقادير لازم نانوذرات و نانولوله‌های کربنی چند جداره برای تهييه نمونه‌ها با کسر حجمي‌های مختلف از رابطه (1) محاسبه شدند. اين مقادير در جدول ۴ ارائه شده‌اند.

$$\varphi = \left[ \frac{\left( \frac{w}{\rho} \right)_{SiO_2} + \left( \frac{w}{\rho} \right)_{MWCNT}}{\left( \frac{w}{\rho} \right)_{WATER} + \left( \frac{w}{\rho} \right)_{SiO_2} + \left( \frac{w}{\rho} \right)_{MWCNT} + \left( \frac{w}{\rho} \right)_{EG}} \right] \times 100 \quad (1)$$

در اين رابطه،  $\varphi$  مقدار کسر حجمي،  $\rho$  چگالي بر حسب  $kgm^{-3}$  و  $w$  جرم بر حسب  $kg$  است.

در تحقيق حاضر، بهمنظور توليد نمونه‌های پايدار، ابتدا به وسیله دستگاه همزن مغناطيسي، پودر نانو و سیال پايه به مدت دو ساعت مخلوط شده و سپس نانوسيال تهييه شده به مدت پنج الی شش ساعت توسيع دستگاه همزن التراسونيک (ساخت شركت هييلشر<sup>۵</sup> آلمان با توان 400 وات و فرکانس 24 کيلوهرتز) برای جلوگيري از کلوخه شدن در مععرض امواج مغناطيسي قرار گرفت. با توجه به تجربه‌های گذشته، بعد از ساخت نانوسيال در کسرهای

مختلف مهندسي نظير انتقال حرارت جوشش [6]، انتقال حرارت جاي‌جايی توام [7]، ماشين‌كاری [8]، خنك‌كاری [9] و ميكرومبدل حرارتی [10] پرداخته‌اند.

در سال‌های اخير نانوسيالات هيبريدی که ترکيبي از دو يا چند نانو ماده مختلف است بهمنظور افرايش نرخ انتقال حرارت مورد توجه قرار گرفته‌اند. در همین راستا، همت و همکاران [11] در يك پژوهش تجربی اثرات افرايش رفتار و غلظت نانو ذرات هيبريدی مس و اکسید تيتانيوم را در بازه دمایي ۳۰°C تا ۶۰°C و تا کسر حجمي ۶٪ مورد بررسی قرار دادند. سیال پايه مخلوطی از آب و اتيلين گليکول بود. نتایج آزمایش‌های ایشان افرايش ضریب انتقال حرارت هدایت تا ۴۴٪ در دمای ۶۰°C و کسر حجمي ۲٪ بود. نانوسيالات هيبريدی دیگري نيز توسط باغبان‌زاده و همکاران [12]، منخباريان و همکاران [13] و سیام و همکاران [14] نيز بررسی شده‌اند.

واضح است که افروزن مواد جامد به ميايات، ديگر خواص ترموفيزيکي آن‌ها را تحت تأثير قرار مي‌دهد. يكى از مهمترین خواص ترموفيزيکي لزجت نانوسيال است که بهطور مستقيم بر توان پمپاز و سистем‌های انتقال حرارت جابجايی اجباری اثر مي‌گذارد. بنابراین تعیین لزجت نانوسيالات برای محاسبه توان مصرفی پمپاز ضروري به نظر مي‌رسد. تحقیقات زیادی در بررسی اثر افروزنی‌ها بر روی لزجت نانوسيالات انجام شده است. تعدادی از این تحقیقات (برای نانوسيالات حاوی مخلوط آب و اتيلين گليکول به عنوان سیال پايه) که همگی براساس رفتار نيوتنی نانوسيالات گزارش شده‌اند بهطور خلاصه در جدول ۱ ارائه شده‌اند. اين تحقیقات نشان داده‌اند که لزجت نانوسيالات با افرايش غلظت مواد جامد، افرايش و با افرايش دما، کاهش می‌يابد.

على رغم مطالعات زیادی که بر روی لزجت نانوسيالات گزارش شده‌اند، تحقیقات اندکی به رفتار غيرنيوتني آن‌ها پرداخته‌اند. به عنوان مثال کالابیرو و همکاران [20] به مطالعه رفتار رئولويك نانوسيال دی‌اکسید تيتانيوم-اتيلين گليکول در بازه دمایي ۲۰°C تا ۵۰°C و تا کسر حجمي ۲۵٪ پرداخته‌اند. ایشان اندازه‌گيری لزجت را در نرخ برش‌های مختلف انجام دادند و نشان دادند که نانوسيال رفتار غيرنيوتني شبیه مدل استوالد نشان می‌دهد. رفتار رئولويك پلی کربنات حاوی کسر حجمي ۰.۵٪ تا ۱۵٪ نانولوله‌های کربنی توسيع پوچکه و همکاران [21] بررسی شد. ایشان گزارش کرده‌اند که نمونه‌های دارای کسر حجمي بالاتر از ۲٪ رفتار غيرنيوتني نشان می‌دهند. فوك و همکاران [22] لزجت نانوسيالات حاوی نانولوله‌های کربنی چند جداره را بهصورت آزمایشگاهی بررسی کردند. نتایج ایشان يك کاهش ۲۰٪ در مقدار لزجت را نشان داد. ایشان همچنین درحالی که لزجت افرايش پيدا کرد، رفتار غيرنيوتني مشاهده کردند.

**جدول ۱** تعدادی از تحقیقات موجود برای لزجت نانوسيالات حاوی مخلوط آب و اتيلين گليکول به عنوان سیال پايه

**Table 1** A summary of existing studies for the viscosity of EG-water based nanofluids

مرجع	باشه کسر حجمي (%)	ذرات معلق	باشه دمایي (°C)
[15]	0-10	سيليكا	(-35)-50
[16]	0-6.12	اکسید مس	(-35)-50
[17]	1-10	اکسید آلومینیوم	(-35)-50
[18]	0-1	اکسید آهن	0-50
[19]	0-4	اکسید آلومینیوم و اکسید تيتانيوم	15-40

1- Pseudoplastic behavior

2- Bingham plastic

3- Herschel-Bulkley

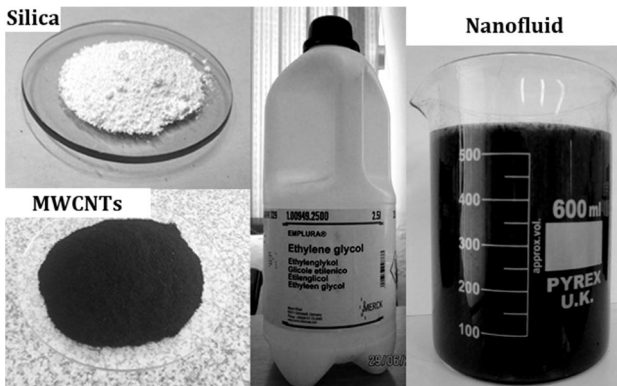
4- Casson

5- Hielscher

**جدول 4** مقدار نانولله‌های کربنی چند جداره و نانوذرات دی‌اکسید سیلیسیوم برای تهیه نمونه‌ها

**Table 4** Amounts of MWCNTs and SiO<sub>2</sub> nanoparticles for preparing the samples

MWCNTs	SiO <sub>2</sub>	حرم [±0.001] (g)	٪ کسر حجمی (%)	ردیف
12.6	14.4		2	1
9.4	10.8		1.5	2
6.3	7.2		1	3
4.7	5.4		0.75	4
3.15	3.6		0.5	5
1.57	1.8		0.25	6
0.37	0.43		0.0625	7



**Fig. 1** تصاویر نانولله‌های کربنی، سیلیکا، اتیلن گلیکول و نانوپیال تهیه شده



**Fig. 2** Measurement of viscosity using Brookfield DV-I PRIME digital Viscometer equipped with a temperature bath

**شکل 2** نحوه اندازه‌گیری لزجت با استفاده از لزجت سنج بروکفیلد تجهیز شده با یک حمام دما

استفاده کالیبره<sup>4</sup> شود. برای این منظور هنگامی که دستگاه روشن می‌شود و قبل از اندازه‌گیری، دستگاه توسط ماده‌ای که شرکت سازنده اعلام کرده باید کالیبره شود. ماده مورد استفاده در لزجت سنج بروکفیلد، سیلیکون است. در

4- Calibration Before Use (CBU)

**جدول 2** مشخصات نانولله‌های کربنی چند جداره و نانوذرات دی‌اکسید سیلیسیوم

**Table 2** Characteristics of MWCNTs and SiO<sub>2</sub> nanoparticles

مشخصات	مقدار	
	دی‌اکسید سیلیسیوم	نانولله‌های کربنی
خلوص	+0.97%	+0.99%
رنگ	سفید	
مشکی		
(nm) قطر خارجی = اندازه	(nm) قطر داخلی = 20-30 (nm)	5-20 (nm)
(μm) طول = سطح ویژه	1.3	180-600
(Wm <sup>-1</sup> K <sup>-1</sup> ) هدایت حرارتی	1500	
(gcm <sup>-3</sup> ) چگالی	~2.1	2.4
(m <sup>2</sup> g <sup>-1</sup> ) سطح ویژه	233	

**جدول 3** مشخصات آب و اتیلن گلیکول

**Table 3** Characteristics of water and ethylene glycol

مشخصات	مقدار	
	آب	اتیلن گلیکول
فرمول شیمیایی	H <sub>2</sub> O	C <sub>2</sub> H <sub>6</sub> O <sub>2</sub>
جرم مولی (gmol <sup>-1</sup> )	18.02	62.07
ظاهر	مایع بی رنگ - شفاف	مایع بی رنگ
بو	بی بو	بی بو
(kgm <sup>-3</sup> ) چگالی	998.21	1113.20
(°C) نقطه ذوب	0.00	-12.9
(°C) نقطه جوش	100	197.3
(Wm <sup>-1</sup> K <sup>-1</sup> ) هدایت حرارتی	0.6	0.224
لزجت (mPas) در 20°C	1	16.1

حجمی مختلف، هر نمونه به مدت سه روز به صورت چشمی مورد پایش قرار گرفت که هیچ‌گونه رسوب، تنهشینی و کلخه شدن مشاهده نشد. تصاویری از نانوذرات دی‌اکسید سیلیسیوم، نانولله‌های کربنی، اتیلن گلیکول و یک نمونه تهیه شده برای کسر حجمی 2% در شکل 1 نشان داده شده‌اند.

## 2- اندازه‌گیری لزجت

لزجت نمونه‌های نانوپیال، که با کسر حجمی‌های 0.0625% .0.05% .0.25% .0.75% .1% .1.5% و 2% تهیه شده بود، در بازه دمایی 50°C تا 27.5°C اندازه‌گیری شد. برای این کار از لزجت سنج استوانه‌ای بروکفیلد<sup>1</sup> که به یک حمام دما تجهیز شده بود استفاده شد. اسپیندل به کار گرفته شده در این آزمایش از نوع یو ال ای<sup>2</sup> است که دارای ضریب نرخ برشی 1.223 و ضریب ثابت 0.64 است. اندازه‌گیری‌ها برای نرخ برش‌های مختلف انجام شد. دقت و تکرارپذیری این لزجت‌سنج به ترتیب  $\pm 1\%$  و  $\pm 0.2\%$  کل گستره اندازه‌گیری<sup>3</sup> است. قبل از انجام آزمایش‌ها، لزجت‌سنج با اتیلن گلیکول و آب اعتبارسنجی شد. به منظور ارزیابی رفتار رئولوژیک (بیوتی یا غیرنیوتی) نانوپیال، همه آزمایش‌ها برای هر نمونه در هر دما با دوره‌های مختلف (نرخ برش‌های مختلف) تکرار شد. شکل 2 نحوه اندازه‌گیری لزجت با استفاده از لزجت سنج بروکفیلد تجهیز شده به یک حمام دما نشان می‌دهد.

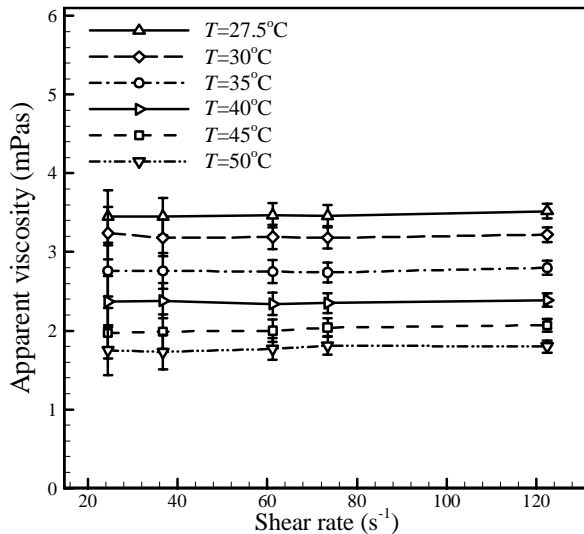
## 3- محاسبه خطأ و عدم قطعیت

به منظور اعتبارسنجی آزمایش، دستگاه لزجت‌سنج بروکفیلد باید قبل از

1- DV-I PRIME model

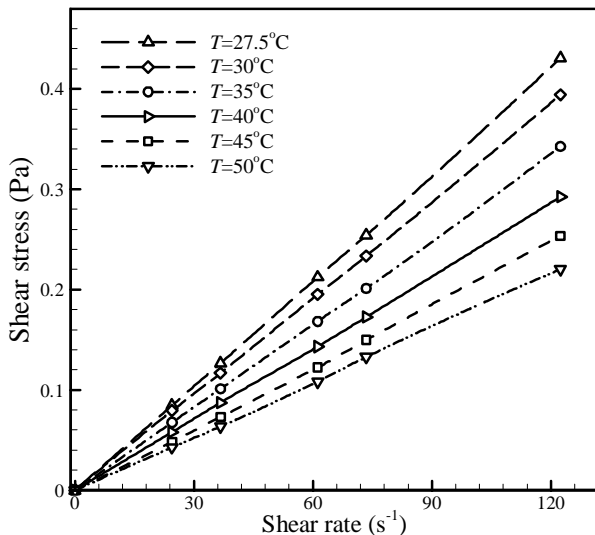
2- ULA

3- Full Scale Range (FSR)



**Fig. 3** Viscosity versus shear rate for base fluid at different temperatures

شکل 3 لزجت بر حسب نرخ برش برای سیال پایه در دماهای مختلف



**Fig. 4** Shear stress versus shear rate for base fluid at different temperatures

شکل 4 تنش برشی بر حسب نرخ برش برای سیال پایه در دماهای مختلف

کاهش می‌یابد. این رفتار با اصطلاح نازک-برش<sup>1</sup> یا سدوپلاستیک شناخته می‌شود [26]. شکل 6 نیز رفتار غیرخطی تنش برشی بر حسب نرخ برش را به خوبی نشان می‌دهد. این دو شکل به وضوح نشان دادند که با افزایش اندازی از ذرات جامد رفتار نیوتونی سیال پایه به رفتار غیرنیوتونی تغییر می‌یابد.

رفتار غیرنیوتونی برای نمونه نانوسیال با کسر حجمی 1% نیز در شکل‌های 7 و 8 نشان داده است. شکل‌های 5 تا 8 بهوضوح نشان می‌دهند که در این مطالعه، رفتار نانوسیال یک رفتار غیرنیوتونی از نوع سدوپلاستیک است و از مدل قاعده توانی<sup>2</sup> (پاور‌ل) که در رابطه (5) نشان داده شده است پیروی می‌کند. برای سایر کسر حجمی‌ها نیز چنین رفتاری مشاهده شد. با بررسی شکل‌های 5 تا 8 نتیجه می‌شود که لزجت با افزایش دما کاهش و با افزایش کسر حجمی ذرات افزایش چشمگیری دارد.

1- Shear-thinning  
2- Power law

آزمایش‌های اولیه که برای تعیین لزجت نمونه سیلیکون در دمای 25°C انجام گرفت مشخص شد که لزجت اندازه گیری شده با مقدار لزجت درج شده بر روی ماده نمونه (484 mPas) برابر است. این همخوانی نشان می‌دهد که لزجت‌سنج مورد استفاده کالبیره است.

مطابق با راهنمای دستگاه مقادیر دقت اندازه گیری  $\pm 1\%$  کل گستره اندازه گیری است. کل گستره اندازه گیری با استفاده از رابطه (2) محاسبه می‌شود.

$$FSR [\text{mPas}] = TK \times SMC \times \frac{10000}{RPM} \quad (2)$$

که در آن  $TK$  ضریب گشتاور و برابر 0.0937 است. همچنین  $SMC$  ثابت اسپیندل و برابر 0.64 است.  $RPM$  نیز بیانگر مقدار دور دستگاه در دقیقه است.

مقدار خطای اندازه گیری لزجت‌سنج مورد استفاده را می‌توان براساس راهنمای شرکت سازنده از رابطه (3) محاسبه کرد.

$$Error [\text{mPas}] = (0.01 \times FSR) + (0.01 \times \mu) \quad (3)$$

که در آن  $\mu$  مقدار لزجت اندازه گیری شده توسط دستگاه بر حسب mPas است.

برای نمونه، جدول 5 خطای محاسبه شده در اندازه گیری لزجت نانوسیال با کسر حجمی 0.0625% در دمای 27.5°C و دورهای مختلف را نشان می‌دهد.

### 3- نتایج و بحث

همان‌طور که در بخش 2-2 بیان شد لزجت نمونه‌های نانوسیال با کسر حجمی‌های 0.0625%, 0.5%, 0.25%, 0.75%, 0.5% و 1% در نرخ برش‌ها و دماهای مختلف اندازه گیری شد. در ابتدا با اندازه گیری لزجت نانوسیال پایه در نرخ برش‌های مختلف، که نتایج آن در شکل 3 نشان داده شده است، رفتار رئولوژیک سیال پایه ارزیابی شد. همان‌طور که در این شکل مشاهده می‌شود لزجت سیال پایه مستقل از نرخ برش است و این یعنی این که سیال پایه رفتار نیوتونی دارد. برای درک بهتر این ادعا نمودار تنش برشی بر حسب نرخ برش برای سیال پایه در دماهای مختلف در شکل 4 نشان داده شده است. رابطه (4) که نشان دهنده وابستگی تنش برشی به نرخ برش است نشان می‌دهد که اگر لزجت ثابت باشد (یا به عبارتی رابطه خطی برقرار باشد) سیال نیوتونی است. با توجه به شکل 4 و رابطه (4) واضح است که سیال پایه نیوتونی است.

$$\tau = \mu \dot{\gamma} \quad (4)$$

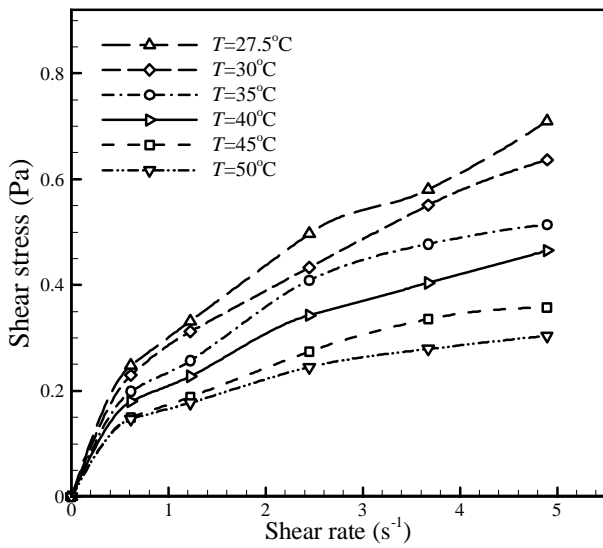
در اینجا  $\tau$  تنش برشی بر حسب Pa,  $\dot{\gamma}$  نرخ برش بر حسب  $s^{-1}$  و  $\mu$  لزجت سیال بر حسب Pas است.

شکل‌های 5 و 6 به ترتیب مقادیر لزجت و تنش برشی را بر حسب نرخ برش برای نمونه با کسر حجمی 0.0625% در دماهای مختلف نشان می‌دهند. همان‌طور که در شکل 5 دیده می‌شود مقدار لزجت با افزایش نرخ برش

جدول 5 مقادیر کل گستره و خطای برای کسر حجمی 0.0625% در دمای 27.5°C و دورهای مختلف

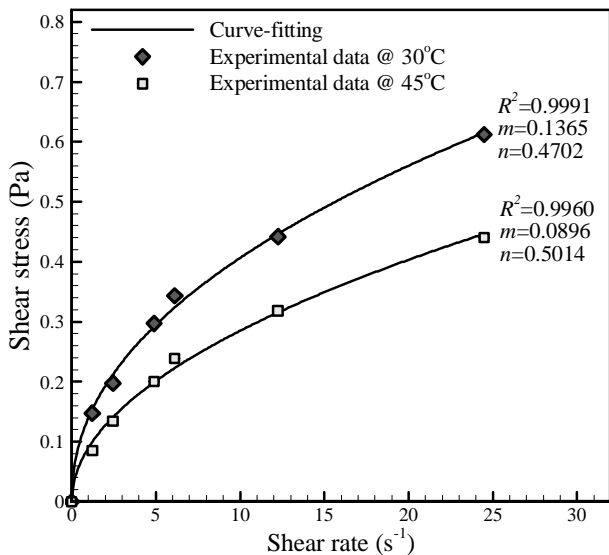
**Table 5** Amounts of FSR and error for solid volume fraction of 0.0625% at temperature of 27.5°C and various rotational speeds

(mPas) خطا	(mPas) کل گستره	(RPM) دور	ردیف
0.6923	60	10	1
0.3767	30	20	2
0.2716	20	30	3
0.1865	12	50	4
0.1654	10	60	5



**Fig. 8** Shear stress versus shear rate for solid volume fraction of 1% at different temperatures

شکل 8 تنش برشی بر حسب نرخ برش برای کسر حجمی 1% در دماهای مختلف



**Fig. 9** Curve-fitting results for nanofluid with solid volume fraction of 0.5% at different temperatures

شکل 9 نتایج برآش منحنی برای نانوسيال با کسر حجمی 0.5% در دماهای مختلف

$$\tau = m\dot{\gamma}^n \quad (5)$$

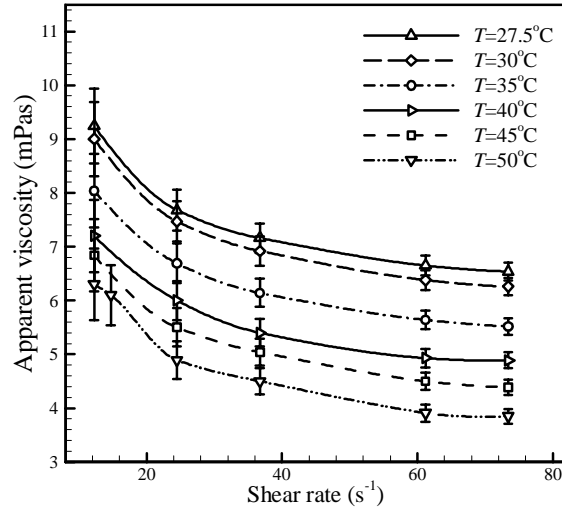
در اینجا  $\tau$  تنش برشی بر حسب Pa,  $\dot{\gamma}$  نرخ برش بر حسب  $s^{-1}$ ,  $m$  شاخص استحکام سیال<sup>1</sup> بر حسب Pas<sup>n</sup> و  $n$  شاخص رفتار جریان<sup>2</sup> است، که با توجه به شکل‌های 5 تا 8، در نانوسيال حاضر  $1 < n < 8$  است.

همچنین لزجت ظاهری<sup>3</sup> از رابطه (6) به دست می‌آید

$$\mu = m\dot{\gamma}^{n-1} \quad (6)$$

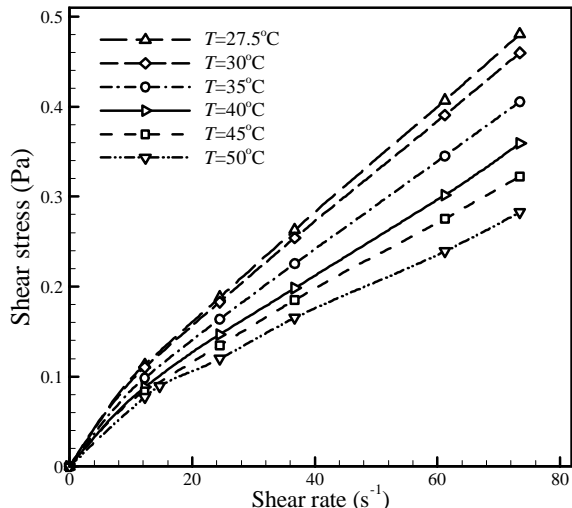
که در آن  $\mu$  لزجت ظاهری نانوسيال است.

با توجه به نتایج ارائه شده در شکل‌های 5 تا 8 و رفتار غیرنیوتونی نانوسيال، به دست آوردن پارامترهای  $m$  و  $n$  برای محاسبه توان پمپاژ و انتقال حرارت جابجایی مهم و ضروری به نظر می‌رسد. همان‌طور که مشاهده شد،



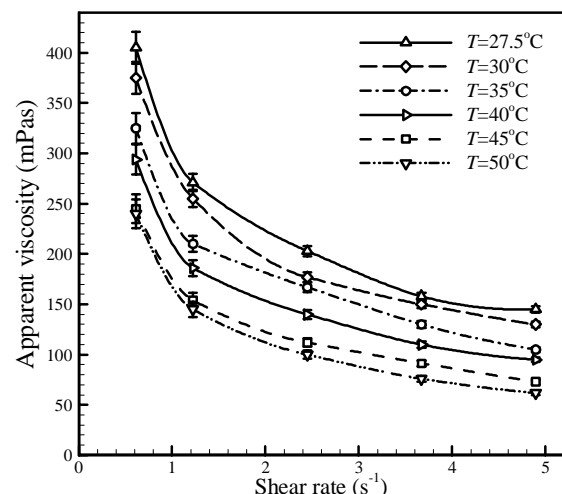
**Fig. 5** Viscosity versus shear rate for solid volume fraction of 0.0625% at different temperatures

شکل 5 لزجت بر حسب نرخ برش برای کسر حجمی 0.0625% در دماهای مختلف



**Fig. 6** Shear stress versus shear rate for solid volume fraction of 0.0625% at different temperatures

شکل 6 تنش برشی بر حسب نرخ برش برای کسر حجمی 0.0625% در دماهای مختلف



**Fig. 7** Viscosity versus shear rate for solid volume fraction of 1% at different temperatures

شکل 7 لزجت بر حسب نرخ برش برای کسر حجمی 1% در دماهای مختلف

1- Consistency index

2- Power law index

3- Apparent viscosity

جدول 6 شاخص‌های مدل قاعده توانی برحسب دما و کسر حجمی

**Table 6** Power law model parameters as a function of temperature and solid volume fraction

کسر حجمی (%)	(°C)	$m$ (Pas <sup>n</sup> )	$n$	$R^2$
0.0625	27.5	0.013	0.8378	0.9994
	30	0.0132	0.8249	0.9995
	35	0.0122	0.8144	0.9996
	40	0.011	0.8073	0.9991
	45	0.0114	0.776	0.9994
	50	0.0118	0.7361	0.9985
0.25	27.5	0.0526	0.6061	0.9985
	30	0.0527	0.5832	0.9982
	35	0.0448	0.5687	0.9975
	40	0.0351	0.6009	0.9994
	45	0.0312	0.5904	0.9990
	50	0.0273	0.5781	0.9995
0.5	27.5	0.1493	0.4615	0.9978
	30	0.1365	0.4702	0.9991
	35	0.1052	0.5193	0.9970
	40	0.1072	0.4605	0.9951
	45	0.0896	0.5014	0.9960
	50	0.0693	0.5136	0.9983
0.75	27.5	0.2168	0.5508	0.9984
	30	0.1894	0.5523	0.9961
	35	0.1703	0.4982	0.9993
	40	0.1493	0.4246	0.9985
	45	0.123	0.4073	0.9912
	50	0.1177	0.3359	0.9966
1	27.5	0.3071	0.5164	0.9974
	30	0.2832	0.5064	0.9990
	35	0.2521	0.4707	0.9921
	40	0.2183	0.4765	0.9980
	45	0.1821	0.4411	0.9957
	50	0.1723	0.3638	0.9979
1.5	27.5	0.4837	0.4572	0.9985
	30	0.4483	0.4653	0.9985
	35	0.3316	0.4807	0.9989
	40	0.2589	0.4353	0.9995
	45	0.227	0.4465	0.9996
	50	0.1967	0.3394	0.9993
2	27.5	0.5144	0.4073	0.9985
	30	0.483	0.4507	0.9979
	35	0.4193	0.4289	0.9958
	40	0.3396	0.4493	0.9980
	45	0.3031	0.4388	0.9984
	50	0.2821	0.3963	0.9980

نانوسيال و در همه دماها بهصورت جداگانه به دست آمدند. مقایسه‌ها نشان داد که برازش منحنی انجام شده دارای دقت خوبی است.

## 5- فهرست علائم

شاخص استحکام سیال (Pas <sup>n</sup> )	$m$
شاخص رفتار جریان	$n$
(°C) دما	$T$
(kg) جرم	$w$
علائم یونانی	
نرخ برش (s <sup>-1</sup> )	$\gamma$
لزجت دینامیکی (kgm <sup>-1</sup> s <sup>-1</sup> یا	$\mu$
چگالی (kgm <sup>-3</sup> )	$\rho$
تش برشی (Pa)	$\tau$

تنش برشی تابعی غیرخطی از نرخ برش، دما و کسر حجمی است؛ بنابراین می‌توان با برازش منحنی و به کمک رابطه (5) مقادیر  $m$  و  $n$  را برای هر دما و کسر حجمی بهدست آورد. در این تحقیق با استفاده از نرمافزار سیگما پلات برای هر حالت مقادیر  $m$  و  $n$  بهدست آمد که نتایج حاصل در جدول 6 گزارش شده است. برای بررسی دقت برازش انجام شده، شکل 9 چگونگی عبور منحنی برازش شده بر نتایج آزمایشگاهی برای کسر حجمی 0.5% در دو دمای مختلف را نشان می‌دهد. این شکل مطابقت خوب منحنی‌های برازش شده را با نتایج آزمایشگاهی نشان می‌دهد.

همان‌طور که در جدول 6 مشاهده می‌شود مقادیر  $n$  همواره کمتر از یک هستند و این به این معناست که با افزایش نرخ برشی، لزجت ظاهری کاهش می‌باید. همچنین با افزایش کسر حجمی در اکثر نقاط مقدار  $n$  کاهش می‌باید و این بدان معناست که رفتار سیال از حالت نیوتونی فاصله بیشتری می‌گیرد و رفتار غیرنیوتونی بیشتر محسوس است. با بررسی شاخص  $m$  مشاهده می‌شود که با افزایش کسر حجمی،  $m$  افزایش و با افزایش دما،  $m$  کاهش می‌باید. همان‌طور که در جدول 6 ارائه شده است با افزایش کسر حجمی ذرات در  $m$  در نتیجه لزجت نانوسيال در یک دمای ثابت افزایش می‌باید (براساس رابطه (6)). در واقع با افزایش ذرات حرکت تصادفی نانوذرات در سیال پایه که یکی از عوامل تاثیرگذار بر لزجت است افزایش می‌باید. در اثر برخورد پیوسته بین نانوذرات و مولکول‌های سیال پایه این حرکت تصادفی به وجود می‌آید. وقتی کسر حجمی افزایش یابد یعنی حضور نانوذرات در سیال پایه بیشتر شده و چون لزجت به معنی مقاومت نانوسيال در برابر حرکت است، با اضافه کردن نانوذرات به سیال پایه مقاومت در برابر جریان افزایش می‌باید. همچنین وقتی نانوذرات و نانولوله‌ها به سیال پایه اضافه می‌شوند، در سیال پایه پراکنده شده و در اثر نیروی واندروالس بین ذرات و سیال پایه، نانوخوشه‌های بزرگتر تشکیل می‌شوند. این نانوخوشه‌ها باعث مانعت از حرکت سیال پایه روی یکدیگر شده و در نتیجه لزجت افزایش می‌باید. همچنین جدول 6 نشان می‌دهد که با افزایش دما مقدار  $m$  کاهش می‌باید. در واقع وجود لزجت در اثر نیروهای چسبندگی بین مولکول‌های مایعات است. در مایعات مولکول‌ها تحت تاثیر دمای‌های بالاتر دارای انرژی بیشتر شده و می‌توانند بر نیروهای چسبندگی بین مولکولی غلبه کنند. در نتیجه مولکول‌های انرژی‌دار راحت‌تر حرکت می‌کنند. کاهش نیروهای بین مولکولی در اثر افزایش دما سبب کاهش مقاومت در برابر جریان می‌شود. در نتیجه لزجت نانوسيال با افزایش دما کاهش می‌باید. نتایج به دست آمده برای رفتار  $m$  و  $n$  برحسب دما و کسر حجمی با نتایج تحقیقات گذشته که توسط حجت و همکاران [27] و یاسار<sup>1</sup> و همکاران [28] گزارش شده‌اند مطابقت خوبی دارند.

## 4- نتیجه‌گیری

در این پژوهش لزجت نمونه‌های نانوسيال با کسر حجمی‌های 0.0625%，0.25%，0.5%，0.75%，1%，1.5% و 2% در نرخ برش‌ها و دمای‌های مختلف اندازه‌گیری شد. در ابتدا با اندازه‌گیری لزجت سیال پایه در نرخ برش‌های مختلف رفتار رئولوژیک سیال پایه ارزیابی شد و مشخص شد که سیال پایه رفتار نیوتونی دارد. نتایج نشان داد که با افزایش اندکی ذرات جامد به سیال پایه رفتار نانوسيال تولید شده غیرنیوتونی شد که از مدل قاعده توانی پیروی می‌کرد. همچنین مشخص شد که رفتار رئولوژیک نانوسيال به شدت به دما و کسر حجمی وابسته است. بنابراین با استفاده از نتایج آزمایشگاهی و برازش منحنی شاخص‌های مدل قاعده توانی ( $m$  و  $n$ ) برای همه نمونه‌های

1- Yasar

- 6415-6425, 2013.
- [14] L. S. Sundar, M. K. Singh, A. C. M. Sousa, Enhanced heat transfer and friction factor of MWCNT–Fe3O4/water hybrid nanofluids, *International Communications in Heat and Mass Transfer*, Vol. 52, No. 3, pp. 73-83, 2014.
- [15] P. K. Namburu, D. P. Kulkarni, A. Dandekar, D. K. Das, Experimental investigation of viscosity and specific heat of silicon dioxide nanofluids, *Micro & Nano Letters*, Vol. 2, No. 3, pp. 67-71, 2007.
- [16] P. K. Namburu, D. P. Kulkarni, D. Misra, D. K. Das, Viscosity of copper oxide nanoparticles dispersed in ethylene glycol and water mixture, *Experimental Thermal and Fluid Scienc*, Vol. 32, No. 2, pp. 397-402, 2007.
- [17] B. C. Sahoo, R. S. Vajjha, R. Ganguli, G. A. Chukwu, D. K. Das, Determination of Rheological Behavior of Aluminum Oxide Nanofluid and Development of New Viscosity Correlations, *Petroleum Science and Technology*, Vol. 27, No. 15, pp. 1557-1770, 2009.
- [18] L. S. Sundar, E. V. Ramana, M. K. Singh, A. C. M. De Sousa, Viscosity of low volume concentrations of magnetic Fe3O4 nanoparticles dispersed in ethylene glycol and water mixture, *Chemical Physics Letters*, Vol. 554, No. 1, pp. 236-242, 2012.
- [19] T. Yiamsawasd, O. Mahian, A. S. Dalkilic, S. Kaewnai, S. Wongwises, Experimental studies on the viscosity of TiO2 and Al2O3 nanoparticles suspended in a mixture of ethylene glycol and water for high temperature applications, *Applied Energy*, Vol. 111, No. 1, pp. 40-45, 2013.
- [20] D. Cabaleiro, M. J. Pastoriza-Gallego, C. Gracia-Fernández, M. M Piñeiro, L. Lugo, Rheological and volumetric properties of TiO2-ethylene glycol nanofluids, *Nanoscale Research Letters*, Vol. 8, No. 1, pp. 286, 2013.
- [21] P. Potschke, T. D. Fornes, D. R. Paul, Rheological behavior of multi walled carbon nanotube/polycarbonate composites, *Polymer*, Vol. 43, No. 11, pp. 3247-3255, 2002.
- [22] T. X. Phuoc, M. Massoudi, R. H. Chen, Viscosity and thermal conductivity of nanofluids containing multi-walled carbon nanotubes stabilized by chitosan, *International Journal of Thermal Sciences*, Vol. 50, No. 1, pp. 12-18, 2011.
- [23] B. Aladag, S. Halef叛d, N. Doner, T. Mare, S. Duret, P. Estelle, Experimental investigations of the viscosity of nanofluids at low temperatures, *Applied Energy*, Vol. 97, No. 1, pp. 876-880, 2012.
- [24] E. Tamjid, B.H. Guenther, Rheology and colloidal structure of silver nanoparticles dispersed in diethylene glycol, *Powder Technology*, Vol. 197, No. 1-2, pp. 49-53, 2010.
- [25] M. B. Moghaddam, E. K. Goharshadi, M. H. Entezari, P. Nancarrow, Preparation, characterization and rheological properties of grapheme-glycerol nanofluids, *hemical Engineering Journal*, Vol. 231, No. 1, pp. 365-372, 2013.
- [26] R. P. Chhabra, J. F. Richardson, *Non-Newtonian Flow in the Process Industries: Fundamentals and Engineering Applications*, First published, pp. 6-10, Great Britain: Butterworth-Heinemann, 1999.
- [27] M. Hojjat, S. G. Etemad, R. Bagheri, J. Thibault, Rheological characteristics of non-Newtonian nanofluids: experimental investigation, *International Communications in Heat and Mass Transfer*, Vol. 38, No. 2, pp. 144-148, 2011.
- [28] F. Yasar, H. Togrul, N. Arslan, Flow properties of cellulose and carboxymethyl cellulose from orange peel, *ournal of Food Engineering*, Vol. 81, No. 1, pp. 187-199, 2007.

## 6-مراجع

- [1] T. Yiamsawasd, A. Selim Dalkilic, S. Wongwises, Measurement of the thermal conductivity of titania and alumina nanofluids, *Thermochimica Acta*, Vol. 545, No. 1, pp. 48-56, 2012.
- [2] M. Chandrasekar, S. Suresh, A. Chandra Bose, Experimental investigations and theoretical determination of thermal conductivity and viscosity of Al2O3/water nanofluid, *Experimental Thermal and Fluid Scienc*, Vol. 34, No. 2, pp. 210-216, 2010.
- [3] L. S. Sundar, M. K. Singh, A. C. M. Sousa, Investigation of thermal conductivity and viscosity of Fe3O4nanofluid for heat transfer applications, *International Communications in Heat and Mass Transfer*, Vol. 44, No. 5, pp. 7-14, 2013.
- [4] J. Jeong, C. Li, Y. Kwon, J. Lee, S. Hyung Kim, R. Yun, Particle shape effect on the viscosity and thermal conductivity of ZnO nanofluids, *International Journal of Refrigeration*, Vol. 36, No. 8, pp. 2233-2241, 2013.
- [5] M. Hemmat Esfe, S. Saedodin, M. Bahiraei, D. Toghraie, O. Mahian, S. Wongwises, Thermal conductivity modeling of MgO/EG nanofluids using experimental data and artificial neural network, *Thermal Analysis and Calorimet*, Vol. 118, No. 8, pp. 287-297, 2014.
- [6] A. Abdollahi, M. R. Salimpour, N. Etesami, Experimental analysis of pool boiling heat transfer of ferrofluid on surfaces deposited with nanofluid, *Modares Mechanical Engineering*, Vol. 16, No. 2, pp. 19-30, 2016. (in Persian) [فارسی]
- [7] A. Aghaei, H. Khorasanizadeh, G. A. Sheikhzadeh, Effects of magnetic field on mixed convection heat transfer and entropy generation of Cu-water nanofluid in a trapezoidal enclosure, *Modares Mechanical Engineering*, Vol. 14, No. 9, pp. 183-164, 2014. (in Persian) [فارسی]
- [8] S. Amini, S. M. Asgari, M. H. Mazaheri, investigating the machining parameters in turning of Monel K500 super alloy at dry and minimum quantity lubrication (QL) by nano-fluids conditions, *Modares Mechanical Engineering*, Vol. 15, No. 13, pp. 59-63, 2015. (in Persian) [فارسی]
- [9] M. Nazari, N. Babazade-bae, M. M. Shahmardan, M. Ashouri, Experimental study of transient cooling of fluid inside closed reservoir by using CuO/water nanofluid, *Modares Mechanical Engineering*, Vol. 15, No. 6, pp. 99-106, 2015. (in Persian) [فارسی]
- [10] M. S. Gachuee, S. M. Peyghambarzadeh, S. H. Hashemabadi, A. Chabi, Experimental investigation of convective heat transfer of Al2O3/water nanofluid through the micro heat exchanger, *Modares Mechanical Engineering*, Vol. 13, No. 4, pp. 74-85, 2013. (in Persian) [فارسی]
- [11] M. Hemmat Esfe, S. Wongwises, A. Naderi, A. Asadi, M. R. Safaei, H. Rostamian, M. Dahari, A. Karimipour, Thermal conductivity of Cu/TiO2–water/EG hybrid nanofluid: Experimental data and modeling using artificial neural network and correlation, *International Communications in Heat and Mass Transfer*, Vol. 66, No. 8, pp. 100-104, 2015.
- [12] M. Baghbanzadeh, A. Rashidi, D. Rashtchian, R. Lotfi, A. Amrollahi, Synthesis of spherical silica/multiwall carbon nanotubes hybrid nanostructures and investigation of thermal conductivity of related nanofluids, *Thermochimica Acta*, Vol. 549, No. 1, pp. 87-94, 2012.
- [13] B. Munkhbayar, M. R. Tanshen, J. Jeoun, H. Chung, H. Jeong, Surfactant-free dispersion of silver nanoparticles into MWCNT-aqueous nanofluids prepared by one-step technique and their thermal characteristics, *Ceramics International*, Vol. 39, No. 6, pp.